

A. В. МАЙ, В. И. МАЙ, М. В. КОЛИСНИЧЕНКО,  
В. В. ТКАЧЕНКО, В. М. ПЕТРУША

Украина, г. Киев, Научно-производственное предприятие "Сатурн"  
E-mail: chmil@issaturn.kiev.ua

Дата поступления в редакцию  
16.12.2005 г.

Оппонент к. т. н. Н. Н. КОБАК  
(НТУУ "КПИ", г. Киев)

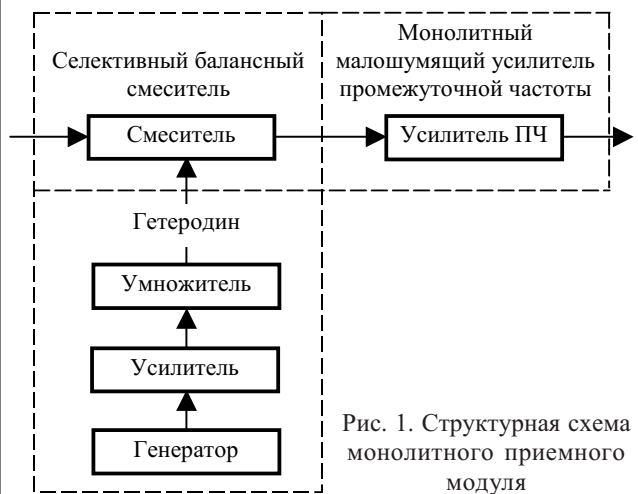
## МОНОЛИТНЫЙ ПРИЕМНИК ДИАПАЗОНА 33—37 ГГц С НИЗКИМ ПОТРЕБЛЕНИЕМ МОЩНОСТИ

*Описан образец монолитного приемника, выполненного на основе монолитной интегральной схемы отечественного производства. Исследованы параметры и определены оптимальные конструктивско-технологические решения.*

Повышение эффективности и расширение функциональных возможностей разрабатываемой приемо-передающей аппаратуры диапазона крайне высоких частот (**КВЧ**), возможность осуществить модернизацию уже выпускаемой аппаратуры с целью достижения ее предельных параметров стимулируют широкое применение монолитных интегральных схем (**МИС**) и устройств различного функционального назначения на их основе.

Современный уровень монолитных интегральных схем позволяет создавать устройства, обеспечивающие расширение функциональных возможностей разрабатываемой аппаратуры, реализацию высоких электрических и массогабаритных характеристик [1—4]. Ниже приводятся результаты разработки монолитного приемного модуля (**МПМ**), выполненного на элементной базе производства НПП «Сатурн».

Структурная схема МПМ приведена на **рис. 1**. МПМ состоит из монолитных интегральных схем балансного смесителя (**БС**), малошумящего усилителя промежуточной частоты (**УПЧ**) и гетеродина, состоящего из автогенератора (**АГ**), буферного усилителя (**БУ**) и умножителя частоты (**УЧ**).



**Монолитный балансный смеситель.** Конструктивно БС относится к продольно-ориентированным схемам смесителей. Функционально он состоит из МИС БС и полосно-пропускающего фильтра (**ППФ**) на волноводно-щелевых резонаторах (**ВЩР**).

МИС формируется в области электромагнитной связи с одним из ВЩР. Микросборка располагается в Е-плоскости волновода. ППФ выполнен на коваровой пластине толщиной 100 мкм, которая гальванически покрыта слоем золота толщиной 0,25—0,3 мкм.

ППФ совместно с МИС, наряду с формированием амплитудно-частотной характеристики (**АЧХ**), обеспечивает направленное распределение мощности гетеродина и сигнала.

Потери преобразования в диапазоне рабочих частот 33—37 ГГц не превышают 6 дБ при фиксированном гетеродине. Полоса промежуточных частот 0,5—2,5 ГГц, КСВН входа не более 1,5.

**Автогенераторы на полевых транзисторах.** Автогенератор построен по схеме с общим затвором (**ОЗ**). Такое построение (АГ с ОЗ) отличается широкополосностью и низким уровнем частотно-модулированных (**ЧМ**) шумов.

В генераторах используется полевой транзистор с длиной затвора 0,8 мкм, шириной затвора 500 мкм. Выходная мощность генераторов 30—40 мВт, рабочие частоты 16...18 ГГц. Относительная термостабильность частоты при изменении температуры окружающей среды от —40 до +50°C составляет  $\pm 1 \cdot 10^{-4}$  (в частотных точках рабочего диапазона).

**Буферный усилитель.** Буферный усилитель построен по схеме с общим истоком (**ОИ**). Именно такая структура обеспечивает хорошее согласование входного и выходного импедансов в широкой полосе рабочих частот. МИС усилителя в диапазоне частот 16—19 ГГц имеет коэффициент усиления 5—6 дБ.

**Умножитель частоты.** МИС УЧ реализована по балансной схеме. Это обеспечивает эффективное суммирование четных гармоник входного сигнала. В диапазоне частот  $f_{\text{вх}} = 18 \pm 2,0$  ГГц коэффициент преобразования во вторую гармонику составляет не менее 6 дБ при подавлении ближайших нечетных гармоник не менее чем на 25 дБ. КСВН входа/выхода не превышает 2,0.

**Усилитель промежуточной частоты.** Диапазон частот УПЧ определен границами 0,5—2,5 ГГц. Для получения коэффициента усиления не менее 45 дБ

## ТЕХНИКА И ТЕХНОЛОГИИ СВЧ

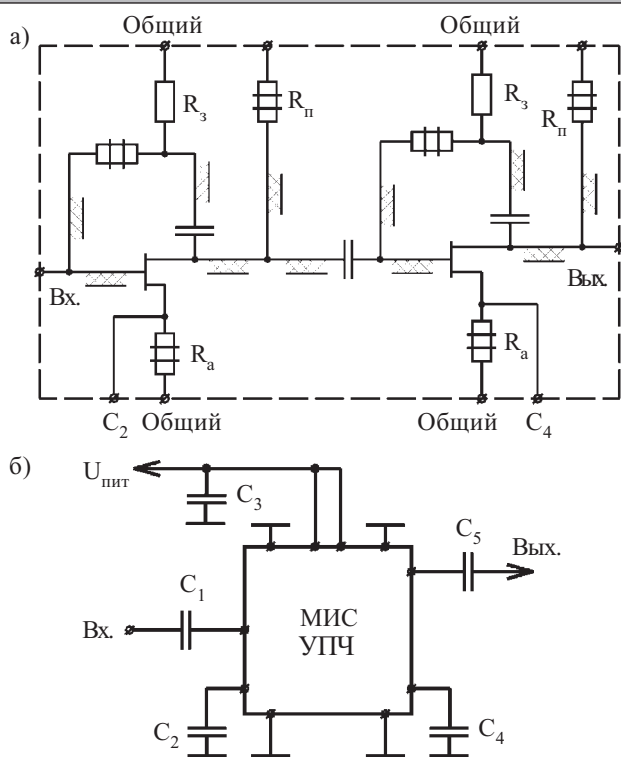


Рис. 2. Монолитный усилитель промежуточной частоты:  
 а — электрическая схема; б — типовая схема включения

УПЧ структурно состоит из двух усилительных каскадов МИС.

МИС УПЧ представляет собой монолитный двухкаскадный усилитель, собранный на полевых транзисторах с барьером Шоттки (ПТШ) по схеме с общим истоком (ОИ). Оба каскада охвачены отрицательной обратной связью по напряжению. Помимо отрицательной обратной связи, для компенсации входной емкости ПТШ используются отрезки микрополосковых линий, выполненные на кристалле GaAs и обеспечивающие требуемую АЧХ усилителя.

На рис. 2 приведены электрическая схема и типовая схема включения монолитного усилителя промежуточной частоты. Размеры кристалла МИС — 2,8×3,0×0,1 мм.

В рабочем диапазоне частот коэффициент передачи МИС не менее 18 дБ, а коэффициент шума не превышает 2,5 дБ. Выходная мощность МИС при компрессии коэффициента усиления на 1 дБ составляет 16,0 дБм. Это позволяет получить динамический диапазон усилителя не менее 90 дБ и КСВН входа/выхода МИС менее 2, а также непосредственно каскадировать МИС для получения требуемого значения коэффициента усиления УПЧ.

Кристаллы МИС УПЧ монтируются на миниатюрное позолоченное основание с последующей термо-компенсацией внешних выводов для стабилизации "нуля", что позволяет проводить измерение параметров МИС в измерительной оснастке.

### Технические характеристики монолитного приемного модуля

Диапазон рабочих частот, ГГц	33,0...37,0
Диапазон промежуточных частот, ГГц	0,5...2,5
Коэффициент шума, дБ	6...8
Коэффициент передачи, дБ	35,0
Динамический диапазон, дБ	60,0
Селективность по зеркальным и комбинационным каналам приема, дБ	-40,0
КСВН входа/выхода, отн. ед.	2,0/2,0
Интервал рабочих температур, °C	-40...+50
Напряжение питания, В	+15
Масса, кг	0,15

### ИСПОЛЬЗОВАННЫЕ ИСТОЧНИКИ

1. Maas S. A., Chang K. W. A broadband, planar, doubly balanced monolithic Ka-band diode mixer // IEEE Trans. MTT.— 1993.— Vol. 41, N 12.— P. 2330—2335.

2. Porterfield W., Crowe T. W., Bradley R. F., Erick N. R. A high-power fixed-tuned millimeter-wave balanced frequency doubler // Ibid.— 1999.— Vol. 47, N 4.— P. 419—425.

3. Асеева Е. Н., Май В. И., Май А. В. и др. Монолитный балансный смеситель диапазона частот 80—100 ГГц // Технология и конструирование в электронной аппаратуре.— 2003.— № 3.— С. 39—40.

4. Yhland K., Rorsman N., Garcia M., Merkel H. F. A symmetrical nonlinear HFET/MESFET model suitable for intermodulation analysis of amplifiers and resistive mixers // IEEE Trans. MTT.— 2000.— Vol. 48, N 1.— P. 15—21.

### НОВЫЕ КНИГИ

**Дмитриков В. Ф., Сергеев В. В., Самылин И. Н. Повышение эффективности преобразовательных и радиотехнических устройств.— М.: Радио и связь; Горячая линия — Теком, 2005.— 424 с.**

Изложены энергетическая теория реактивных фильтрующих цепей и на этой основе методы расчета LC-фильтров с минимальной массой, габаритными размерами, потерями энергии и нестабильностью характеристик. Рассматриваются схемы и методы дискретного выходного напряжения ключевых генераторов с улучшенным спектральным составом. С использованием разработанного метода гармонической «стационаризации» проведен анализ ключевого генератора напряжения с учетом цепей постоянного тока, сводящегося к нестационарным системам с периодически изменяющимися коэффициентами; найден и исследован режим с улучшенным спектральным составом и улучшенной электромагнитной совместимостью. Изложены вопросы проектирования ключевых источников питания; проведен анализ их устойчивости и динамических характеристик при использовании однозвезденных и двухзвенных сглаживающих фильтров с характеристиками Чебышева, Баттерворта и равнозвездных фильтров.

Книга адресуется специалистам в области радиотехнических и преобразовательных устройств. Будет полезной преподавателям вузов, аспирантам и студентам соответствующих специальностей.

НОВЫЕ КНИГИ

